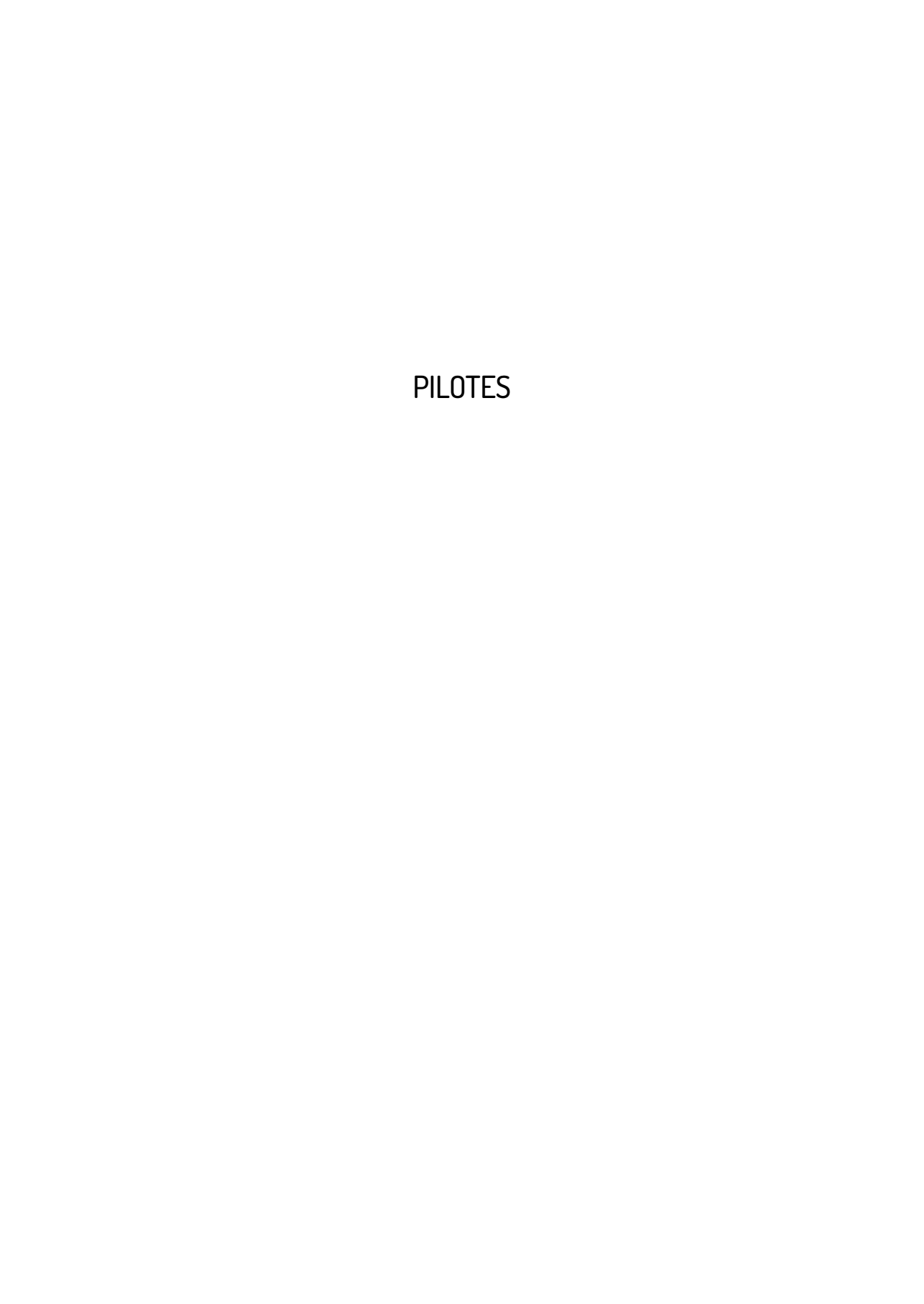


# **PILOTES**



Editorial Universidad de Sevilla

Escuela Técnica Superior de Ingeniería





### Colección: Monografías de Escuela Técnica Superior de Ingeniería

#### DIRECTOR DE LA COLECCIÓN

Rodríguez Rubio, Francisco. Universidad de Sevilla

#### Consejo de Redacción

Arahal Junco, Consuelo. Universidad de Sevilla Carballar Rincón, Alejandro. Universidad de Sevilla Limón Marruedo, Daniel. Universidad de Sevilla Rodríguez Luis, Alejandro José. Universidad de Sevilla Rodríguez Rubio, Francisco. Universidad de Sevilla Salas Gómez, Francisco. Universidad de Sevilla

### COMITÉ CIENTÍFICO

Aracil Santonja, Javier. Universidad de Sevilla y Universidad de Málaga Bernelli Zazzera, Franco. Politecnico di Milano Chinesta, Francisco. École Centrale de Nantes Félez Mindan, Jesús. Universidad Politécnica de Madrid Gallego Sevilla, Rafael. Universidad Politécnica de Madrid García-Lomas Jung, Francisco Javier. Universidad de Sevilla Giner Maravilla, Eugenio. Universidad Politécnica de Valencia González Díez, Isabel. Universidad de Sevilla Montañés García, José Luis. Universidad Politécnica de Madrid Montes Martos, Juan Manuel. Universidad de Sevilla Navarro Esteve, Pablo José. Universidad Politécnica de Valencia Ollero de Castro, Pedro. Universidad de Sevilla Verdú, Sergio. Princeton University

# José Luis de Justo Alpañés (coordinador)

## **PILOTES**





Colección: Monografías de la Escuela Técnica Superior de Ingeniería de la Universidad de Sevilla

Núm.: 25

#### COMITÉ EDITORIAL:

Araceli López Serena (Directora de la Editorial Universidad de Sevilla) Elena Leal Abad (Subdirectora)

Concepción Barrero Rodríguez
Rafael Fernández Chacón
María Gracia García Martín
María del Pópulo Pablo-Romero Gil-Delgado
Manuel Padilla Cruz
Marta Palenque
María Eugenia Petit-Breuilh Sepúlveda
Marina Ramos Serrano
José-Leonardo Ruiz Sánchez
Antonio Teiedor Cabrera

Reservados todos los derechos. Ni la totalidad ni parte de este libro puede reproducirse o transmitirse por ningún procedimiento electrónico o mecánico, incluyendo fotocopia, grabación magnética o cualquier almacenamiento de información y sistema de recuperación, sin permiso escrito de la Editorial Universidad de Sevilla.

- © Editorial Universidad de Sevilla, 2023 C/ Porvenir, 27 - 41013 Sevilla. Tlfs.: 954 487 447; 954 487 451; Fax: 954 487 443 Correo electrónico: info-eus@us.es Web: https://editorial.us.es
- © José Luis de Justo Alpañés (coord.), 2023
- © De los textos, los autores, 2023

Impreso en papel ecológico Impreso en España-Printed in Spain

ISBN (PDF) 978-84-472-2503-3

DOI: https://dx.doi.org/10.12795/9788447225033

Diseño de cubierta: Santi García

Maquetación: Santi García. santi@elmaquetador.es Realización electrónica: Editorial Universidad de Sevilla

# Índice

|    | ólogo<br>uardo Alonso Pérez de Ágreda   | 15                         |
|----|---|----------------------------|
| ١. | Introducción, tipología y construcción de pilotes<br>J.L. Arcos Álvarez   | 19                         |
|    | 1.1. Historia   | 19                         |
|    | 1.1. Objeto de los pilotes  | 21                         |
|    | 1.3. Clasificaciones de los tipos de pilote   | 25                         |
|    | <ul><li>1.4. Pilotes <i>in situ</i> de extracción</li><li>1.4.1. Pilotes con entubación recuperable (camisa recuperable)</li><li>1.4.2. Pilotes de entubación definitiva (camisa perdida)</li></ul>   | 26<br>31<br>31             |
|    | <ul><li>1.4.3. Pilotes perforados con lodos</li><li>1.4.4. Pilotes en seco, sin entubación</li><li>1.4.5. Pilotes de barrena continua</li><li>1.4.6. Pilotes perforados de gran diámetro</li><li>1.4.7. Elementos de pantalla ("barrettes")</li></ul> | 33<br>34<br>35<br>39<br>40 |
|    | 1.5. Pilotes prefabricados hincados<br>1.5.1. La hinca de pilotes   | 40<br>45                   |
|    | <ul> <li>1.6. Otros tipos de pilotes de desplazamiento</li> <li>1.6.1. Pilotes de desplazamiento hormigonados in situ</li> <li>1.6.2. Pilotes apisonados</li> <li>1.6.3. Pilotes metálicos</li> <li>1.6.4. Pilotes de madera</li> </ul>               | 50<br>50<br>50<br>50<br>52 |
|    | 1.7. Otros usos de los pilotes  | 53                         |
|    | 1.8. Comparación entre diversos tipos de pilotes  | 53                         |
|    | 1.9. Normativa sobre pilotes  | 54                         |

8 Pilotes

| 2. | Resistencia de un pilote aislado sometido a compresion axil<br>J.D. Bauzá Castelló y A. Morales Esteban  | 57       |
|----|--|----------|
|    | 2.1. Hundimiento de un pilote  | 57       |
|    | 2.2. Capacidad portante de un pilote bajo compresión axil  | 59       |
|    | 2.3. Componentes de la capacidad portante de un pilote   | 60       |
|    | 2.4. Consideraciones geométricas   | 62       |
|    | 2.4.1. Características geotécnicas   | 62       |
|    | 2.4.2. En relación con el área lateral del pilote  | 62       |
|    | 2.4.3. Área de la punta  | 63       |
|    | 2.4.4. Tamaño del pilote   | 63       |
|    | 2.5. Caracterización del terreno   | 64<br>64 |
|    | 2.5.1. Parámetros geotécnicos relevantes 2.5.2. Consideraciones sobre el ensayo SPT  | 64       |
|    | 2.6. Cálculo de la resistencia en terrenos heterogéneos  | 66       |
|    | 2.6.1. Resistencia por el fuste  | 67       |
|    | 2.6.2. Resistencia por la punta  | 67       |
|    | 2.7. Métodos de cálculo de la resistencia de un pilote   | 70       |
|    | 2.8. Método basado en los parámetros de Mohr-Coulomb   | 72       |
|    | 2.8.1. Condiciones de aplicación   | 72       |
|    | 2.8.2. Resistencia unitaria por la punta   | 72       |
|    | 2.8.3. Resistencia unitaria por el fuste   | 74       |
|    | 2.8.4. Limitaciones a la resistencia por la punta: profundidad crítica 2.8.5. Cálculo en suelos cohesivos saturados en situaciones no drenadas | 77<br>77 |
|    | 2.9. Cálculo en función del ensayo de penetración SPT  | 77<br>79 |
|    | 2.10. Cálculo a partir de ensayos de penetración estática  | 82       |
|    | 2.11. Cálculo a partir de ensayos de penetración estadoa  2.11. Cálculo a partir de ensayos presiométricos                                     | 83       |
|    | 2.12. Resistencia de un pilote empotrado en roca   | 85       |
|    | 2.12.1. Guía de Cimentaciones en Obras de Carretera  | 86       |
|    | 2.12.2. Recomendaciones Geotécnicas para Obras Marítimas y Portuarias ROM 0.5  | 88       |
|    | 2.12.3. Código Técnico de la Edificación   | 89       |
|    | 2.13. Coeficiente de seguridad   | 90       |
|    | 2.14. Resistencia estructural  | 91       |
| 3. | Fórmulas de hinca y análisis de la ecuación de onda<br>R. Gil Lablanca y J.L. Arcos Álvarez  | 93       |
|    | 3.1. Fórmulas de hinca   | 93       |
|    | 3.1.1. Introducción  | 93       |
|    | 3.1.2. Fundamento  | 94       |
|    | 3.1.3. Fórmula da Hilay  | 96<br>96 |

Índice 9

|    | 3.1.3.2. Fórmula Holandesa   | 100 |
|----|--|-----|
|    | 3.1.3.3. Fórmula Holandesa Modificada  | 100 |
|    | 3.1.3.4. Fórmula del Engineering News  | 100 |
|    | 3.1.3.5. Fórmula de Gates  | 101 |
|    | 3.1.3.6. Fórmula de la energía medida  | 101 |
|    | 3.1.4. Limitaciones de las fórmulas de hinca   | 101 |
|    | 3.2. Análisis de ecuación de onda  | 102 |
|    | 3.3. Efectos del tiempo en la resistencia de los pilotes   | 105 |
| 4. | Resistencia de pilotes a tracción<br>J.L. Justo Alpañés y A. Morales Esteban                     | 109 |
|    | 4.1. Introducción  | 109 |
|    | 4.2. Resistencia estructural   | 109 |
|    | 4.3. Fisuración del hormigón armado  | 110 |
|    | 4.4. Resistencia al arrancamiento  | 115 |
|    | 4.4.1. Resistencia unitaria por el fuste en arenas   | 116 |
|    | 4.4.2. Resistencia al arrancamiento de pilotes sometidos a cargas oblicuas                       | 123 |
|    | 4.4.3. Resistencia unitaria por el fuste en arcillas   | 124 |
|    | 4.4.4. Pilotes helicoidales  | 128 |
| 5. | Cálculo de asientos de un pilote aislado sometido a carga axial<br>E. de Justo Moscardó          | 129 |
|    | 5.1. Introducción  | 129 |
|    | 5.2. Métodos semiempíricos   | 129 |
|    | 5.3. Métodos analíticos  | 130 |
|    | 5.4. El método de la ecuación integral   | 131 |
|    | 5.4.1. Definición del problema e hipótesis simplificativas                                       | 131 |
|    | 5.4.2. Discretización del pilote y del terreno   | 132 |
|    | 5.4.3. Ecuaciones de desplazamiento del terreno  | 132 |
|    | 5.4.4. Ecuaciones de desplazamiento del pilote   | 133 |
|    | 5.4.5. Compatibilidad de desplazamientos   | 135 |
|    | 5.4.6. Consideración de terreno estratificado  | 135 |
|    | 5.4.7. Consideración del deslizamiento entre pilote y terreno                                    | 135 |
|    | 5.4.8. Estimación de parámetros del terreno  | 136 |
|    | 5.5. Ejemplo   | 137 |
|    | 5.6. Apéndice — integración de las ecuaciones de Mindlin para el cálculo de asientos del terreno | 138 |
| 6. | Ensayos de carga en cimentaciones profundas<br>J.D. Bauzá Castelló y R. Gil Lablanca             | 143 |
|    | 6.1. Introducción  | 143 |
|    | 6.2. Clasificación y tinos de pruebas de carga   | 145 |
|    |  |     |

10 Pilotes

| 6.2.1. Tipos de ensayos   | 145 |
|---|-----|
| 6.2.2. Objeto de la prueba de carga   | 145 |
| 6.3. Instrumentación de las pruebas de carga                                    | 146 |
| 6.4. Pruebas de carga estática  | 147 |
| 6.4.1. Fundamento   | 147 |
| 6.4.2. Ensayos de carga estática a compresión                                   | 148 |
| 6.4.2.1. Instrumentación y sistemas de reacción                                 | 148 |
| 6.4.2.2. Procedimiento de carga   | 151 |
| 6.4.2.3. Interpretación de los resultados                                       | 152 |
| 6.4.2.4. Otros procedimientos de carga  | 155 |
| 6.4.3. Ensayos de carga estática a tracción                                     | 156 |
| 6.4.3.1. Instrumentación y sistemas de reacción                                 | 156 |
| 6.4.3.2. Interpretación de los resultados                                       | 158 |
| 6.4.4. Ensayos de carga estática lateral  | 158 |
| 6.4.4.1. Instrumentación y sistemas de reacción                                 | 158 |
| 6.4.4.2. Procedimiento de carga e interpretación de los resultados              | 160 |
| 6.5. Pruebas de carga bidireccional   | 160 |
| 6.5.1. Fundamento   | 160 |
| 6.5.2. Interpretación de resultados   | 163 |
| 6.5.3. Particularidades de las pruebas de carga bidireccionales                 | 163 |
| 6.6. Pruebas de carga dinámica  | 165 |
| 6.6.1. Fundamento   | 165 |
| 6.6.2. Instrumentación y equipo   | 166 |
| 6.6.3. Métodos de interpretación  | 169 |
| 6.6.3.1. Método directo CASE  | 169 |
| 6.6.3.2. Métodos basados en la modelización matemática                          | 172 |
| 6.6.4. Aplicación de las pruebas de carga dinámicas a pilotes perforados        | 173 |
| 6.6.5. Características específicas de las pruebas dinámicas                     | 175 |
| 6.7. Ensayos de carga rápida  | 177 |
| 6.7.1. Ensayos de carga rápida  | 177 |
| 6.7.2. Tipos de ensayo de carga rápida  | 178 |
| 6.7.2.1. Método Statnamic   | 178 |
| 6.7.2.2. Método StatRapid   | 179 |
| 6.7.3. Análisis e interpretación de los resultados                              | 181 |
| 6.7.4. Otros aspectos específicos de las pruebas de carga rápida                | 185 |
| 6.8. Frecuencia de los ensayos de carga   | 185 |
| 6.9. Obtención de la carga de trabajo de un pilote a partir de pruebas de carga | 187 |
| 6.10. Aspectos constructivos  |     |

Índice 11

| 7. | Pilotes sometidos a carga lateral P. Durand Neyra y J. M. Sánchez Langeber   | 191        |
|----|--|------------|
|    | 7.1. El pilote aislado sometido a carga lateral  | 191        |
|    | 7.2. Resistencia lateral de un pilote aislado  | 192        |
|    | 7.2.1. Teoría de Broms   | 192        |
|    | 7.2.1.1. Suelos cohesivos  | 193        |
|    | 7.2.1.2. Suelos no cohesivos   | 197        |
|    | 7.2.2. Normativas. CTE   | 201        |
|    | 7.2.2.1. CTE-SE-C. Carga de rotura del pilote sometido a carga lateral   | 202        |
|    | 7.3. Desplazamiento lateral y esfuerzos del pilote aislado   | 208        |
|    | 7.3.1. Modelo de Broms<br>7.3.1.1. Módulo $k_h$ constante con la profundidad (arcillas)  | 208<br>210 |
|    | 7.3.1.2. Módulo $K_h$ constante con la profundidad (arcinas) 7.3.1.2. Módulo $K_h$ que varía linealmente con la profundidad (arenas) | 212        |
|    | 7.3.1.2. Modelo $p-y$  | 212        |
|    | 7.3.2.1. Curva <i>p-y</i> de Matlock (1970)  | 216        |
|    | 7.3.2.2. Curva <i>p-y</i> de Reese <i>et al.</i> (1974)  | 218        |
|    | 7.3.3. Método elástico   | 220        |
|    | 7.4. Normativas para el pilote aislado. CTE  | 225        |
|    | 7.4.1. Normativa CTE: Desplazamiento del pilote aislado sometido a carga lateral   | 226        |
|    | 7.4.2. CTE. Cálculo de esfuerzos cuando se sustituye el pilote por una varilla rígida  | 230        |
|    | 7.5. Otras normativas. Recomendaciones geotécnicas para obras marítimas r.O.M0.5-05  | 231        |
|    | 7.6. Resistencia lateral de un grupo de pilotes  | 232        |
|    | 7.7. Desplazamiento de un grupo de pilotes sometido a carga lateral  | 235        |
|    | 7.7.1. Método del coeficiente de balasto   | 235        |
|    | 7.7.2. Método elástico   | 236        |
|    | 7.8. Normativas para grupos de pilotes. CTE SE-C   | 240        |
|    | 7.8.1. Resistencia del terreno frente a acciones horizontales  | 240        |
|    | 7.8.2. Movimientos horizontales  | 240        |
|    | 7.8.2.1. Pilotes articulados en cabeza   | 241        |
|    | 7.8.2.2. Pilotes empotrados en cabeza  | 243        |
| •  | 7.8.3. Esfuerzos en los pilotes  | 245        |
| 8. | Rozamiento negativo<br>M. Vázquez Boza   | 247        |
|    | 8.1. Introducción  | 247        |
|    | 8.2. Rozamiento negativo provocado por el asiento de un suelo subconsolidado   | 247        |
|    | 8.3. Rozamiento negativo producido por un descenso del nivel freático  | 251        |
|    | 8.4. Rozamiento negativo debido a la hinca de pilotes  | 252        |
|    | 8.5. Reducción del rozamiento negativo   | 253        |

12 Pilotes

| 9.  | Pandeo de pilotes<br>J.L. Justo Alpañés y A. Morales Esteban                                   | 255 |
|-----|--|-----|
|     | 9.1. Introducción  | 255 |
|     | 9.2. Problemas de pandeo   | 255 |
|     | 9.3. Ecuación diferencial del pandeo   | 256 |
|     | 9.4. Hipótesis del coeficiente de balasto  | 258 |
|     | 9.4.1. Pilotes totalmente embebidos en el terreno  | 258 |
|     | 9.4.2. Pilotes parcialmente embebidos en el terreno  | 261 |
|     | 9.5. Suponiendo un terreno lineal-elástico   | 262 |
|     | 9.6. Otros métodos   | 262 |
| 10. | Grupo de pilotes verticales bajo carga vertical  J.L. Justo Alpañés y M. Vázquez Boza          | 265 |
|     | 10.1. Introducción   | 265 |
|     | 10.2. Separación entre los pilotes de un grupo   | 266 |
|     | 10.3. Carga de hundimiento de un grupo de pilotes bajo carga vertical y centrada               | 267 |
|     | 10.3.1. Carga de hundimiento de un grupo de pilotes en arcilla                                 | 267 |
|     | 10.3.2. La carga de hundimiento de grupos de pilotes en arena                                  | 270 |
|     | 10.3.3. Distribución de la carga entre pilotes   | 271 |
|     | 10.4. Asiento de un grupo de pilotes verticales bajo carga vertical                            | 271 |
|     | 10.4.1. Cálculo de asientos de grupos de pilotes a partir de ensayos de laboratorio            | 272 |
|     | 10.4.2. Asiento de pilotes cuya punta descansa en un estrato duro                              | 273 |
|     | 10.4.3. Asiento de grupos de pilotes de fricción en arcilla                                    | 274 |
|     | 10.4.4. Asiento de grupos de pilotes en arena  | 274 |
|     | 10.5. Métodos elásticos. El método de la ecuación integral                                     | 277 |
|     | 10.5.1. Coeficientes de interacción  | 277 |
|     | 10.5.2. Solución matricial   | 279 |
|     | 10.5.3. Grupo de pilotes columna que descansa en un estrato rígido                             | 283 |
| 11. | Pilotes inclinados   | 285 |
|     | J. L. Justo y J. M. Sánchez Langeber   |     |
|     | 11.1. Introducción   | 285 |
|     | 11.2. Método de análisis   | 286 |
|     | 11.2.1. Movimiento del pilote inclinado aislado  | 287 |
|     | 11.2.2. Interacción entre dos pilotes inclinados   | 291 |
|     | 11.2.3. Matriz de movimientos de interacción entre dos pilotes                                 | 293 |
|     | 11.2.4. Resultados sobre la interacción entre dos pilotes                                      | 294 |
|     | 11.2.5. Conclusiones respecto a la interacción entre pilotes inclinados en un grupo de pilotes | 294 |

Índice 13

|     | 11.3. Grupo de pilotes  | 296        |
|-----|---|------------|
|     | 11.3.1. Movimiento de un pilote en un grupo de pilotes inclinados   | 296        |
|     | 11.3.2. Grupo de pilotes con encepado rígido  | 296        |
|     | 11.3.3. Grupo de pilotes empotrados   | 297        |
|     | 11.3.4. Grupo de pilotes articulados  | 298        |
|     | 11.3.5. Resultados sobre el asiento de un grupo de pilotes inclinados   | 298        |
|     | 11.3.6. Conclusiones respecto al asiento en un grupo de pilotes inclinados  | 299        |
| 12. | Pilotes en suelos parcialmente saturados sometidos a cambios de humedad<br>J.L. Justo Alpañés, E. de Justo Moscardó y M. Vázquez Boza                         | 301        |
|     | 12.1. Introducción  | 301        |
|     | 12.2. Primeros métodos de análisis  | 302        |
|     | 12.3. Soluciones basadas en el método de la ecuación integral   | 303        |
|     | 12.3.1. Soluciones para un pilote incompresible   | 304        |
|     | 12.3.1.1. Efecto del desplazamiento el terreno  | 305        |
|     | 12.3.2. Deslizamiento entre suelo y pilote  | 308        |
|     | 12.3.3. Efecto de la carga axil   | 308        |
|     | 12.3.4. Rotura a compresión del pilote  | 309        |
|     | 12.3.5. Rotura a tracción del pilote  | 309        |
|     | 12.4. Aplicación del método de Xiao <i>et al.</i> (2011) para pilotes en terreno sometidos a cambios  | 200        |
|     | de volumen  | 309        |
|     | 12.4.1. Caso 1: el pilote bajo carga vertical   | 310<br>311 |
|     | 12.4.2. Caso 2: el pilote sometido a cambios de volumen del terreno<br>12.4.2. Caso 3: el pilote sometido a la carga en cabeza y a la presión de hinchamiento | 311        |
|     | del terreno   | 313        |
|     | del terreno   | دا د       |
| 13. | Métodos no destructivos de control de pilotes   | 315        |
|     | J.D. Bauzá Castelló y B. Bauzá Montojo  |            |
|     | 13.1. Incertidumbres en las cimentaciones profundas   | 315        |
|     | 13.2. Control de ejecución de pilotes   | 316        |
|     | 13.3. Ensayos sobre pilotes terminados  | 317        |
|     | 13.3.1. Verificación de la alineación mediante inclinometría  | 318        |
|     | 13.3.2. Ensayos dinámicos de carga  | 318        |
|     | 13.3.3. Métodos sónicos de reflexión o impedancia mecánica  | 319        |
|     | 13.3.4. Ensayos de impedancia mecánica  | 325        |
|     | 13.3.5. Métodos de transparencia sónica o cross-hole  | 327        |
|     | 13.4. Frecuencia de ejecución de los ensayos  | 333        |
|     | 13.5. Anlicación y limitaciones de los ensayos no destructivos  | 333        |

14 Pilotes

| 14. | El método de elementos finitos en el cálculo de pilotes J.L. Justo, E. de Justo Alpañés y M. Vázquez Boza   | 335                      |
|-----|---|--------------------------|
|     | 14.1. Introducción  | 335                      |
|     | 14.2. Modelos de materiales del suelo   | 337                      |
|     | 14.3. Modelos de pilotes en EF<br>14.3.1. Pilotes embebidos   | 338<br>338               |
|     | 14.3.2. Pilotes volumétricos (PV)<br>14.3.3. Métodos de comparación   | 342<br>342               |
|     | 14.4. Validación de los modelos   | 342                      |
|     | 14.5. Resultados  | 344                      |
|     | 14.6. Caso 1: Pilote hueco extendido con un micropilote<br>14.6.1. Pilote a compresión<br>14.6.2. Pilote a tracción<br>14.6.3. Pilotes bajo carga lateral | 344<br>346<br>347<br>347 |
|     | 14.7. Caso 2: Comparación con el método de la ecuación integral en un pilote individual   | 349                      |
|     | 14.8. Caso 3: Pilote aislado bajo carga lateral. Comparación de diferentes modelos de pilotes   | 351                      |
|     | 14.9. Conclusiones  | 355                      |
| Ref | erencias  | 357                      |
| Índ | ice de palabras   | 369                      |

### Prólogo

Los pilotes hincados de madera surgieron como un procedimiento para cimentar con seguridad monumentos, edificios y obras civiles sobre terrenos muy deformables y de baja capacidad portante. En el libro, Capítulos 1 y 2, se recoge una breve e interesante historia del desarrollo de las cimentaciones profundas hasta tiempos modernos (primeras décadas del siglo XX). Lo cierto es que su uso era bien conocido por los gremios de la construcción. La torre campanario de la Catedral de Pisa fue seguramente una buena candidata para ser cimentada sobre pilotes, por la altura y esbeltez prevista, y por las arcillas, limos y arenas compresibles de la ciudad. Pero no fue así. Giorgio Vasari (1511-1574) en uno de sus libros, *Vida de Arnolfo di Lapo*, 1550, sobre la obra de ilustres arquitectos, pintores y escultores, dice así:

Se dice que este Guglielmo, junto con el escultor Bonnano, cimentaron la torre campanario de la Catedral de Pisa en el año 1174. Pero como estos arquitectos no estaban acostumbrados a las prácticas de cimentación en Pisa y, por tanto, no usaron pilotes como debían, antes de que se alcanzara la mitad de la altura de la torre, ésta se inclinó hacia el lado más débil y así, está desplomada seis brazas y media hacia el lado en que la cimentación asentó. En la base no parece demasiado, pero en la coronación es tanto que nadie puede creer que esté todavía en pie sin colapsar.

En 1550 su inclinación era de 4,7° y todavía se inclinaría cerca de un grado adicional en los siglos siguientes.

Como ocurre con otras artes constructivas que acabaron integrándose en nuestro moderno concepto de Geotecnia los pilotajes constituyeron una especialidad con sus técnicas constructivas, el desarrollo de artefactos de hinca progresivamente más potentes o las "fórmulas dinámicas" que permitieron estimar la capacidad portante y previsible asentamiento de pilotes hincados. Pero el diseño, cálculo y construcción de pilotes, como otros campos de la Geotecnia, requiere información adicional de la Geología,

las técnicas de reconocimiento, la experimentación *in situ*, técnicas constructivas, modelos de cálculo y sin dudas la contribución conceptual de la Mecánica del Suelo.

En relación con este último aspecto y también con la figura de Agustín de Betancourt, cuya "instrucción" para la hinca de pilotes de la cimentación de la Catedral de San Petersburgo se describe en el Capítulo 1 del libro, es interesante evocar la catastrófica rotura de la presa de gravedad de Puentes, construida a partir de 1785 en el cauce del río Guadalentín, aguas arriba de la villa de Lorca. El apoyo de la presa de mampostería y 50 m de altura se resolvió mediante un grupo de pilotes verticales de madera de 5,40 m de longitud y puntaza metálica con el fin de facilitar su hincado en el lecho arenoso del cauce. Las cabezas de estos pilotes se unieron con un enrejado de vigas y los huecos se rellenaron con mampostería. Pero no se conocía la potencia de las arenas de cimentación. Betancourt, encargado por el Rey Carlos IV de preparar un informe de las causas de la rotura, determinó que el origen fue la decisión de apoyar la presa sobre "estacadas y emparrillado sin tener en cuenta las leyes de la hidráulica". Y resolvió que la falta de instrucción de los arquitectos de la obra en esta materia fue determinante en la catástrofe. Los testigos presenciales de la rotura, que se produjo cuando el embalse había alcanzado su máxima cota, observaron la formación de surtidores de agua turbia aguas abajo del cimiento, la salida de arena, "estacas" y entablonado, arrastrados por una "inmensa cantidad de agua" y finalmente el colapso de la zona central de la presa.

Hoy entendemos bien esta rotura. Nada impidió el flujo de agua a través de la arena de cimentación y su salida aguas abajo con fuertes gradientes verticales. Un cálculo sencillo indica que esos gradientes eran cercanos a uno, lo que provocó el sifonamiento de las arenas, su arrastre y también la eliminación de la capacidad resistente, frente a esfuerzos verticales y horizontales, del denso grupo de pilotes cortos de cimentación. En esta rotura está en el origen, a instancias de Betancourt, de los "Estudios de hidráulica del Buen Retiro" y poco después de los "Estudios de la Inspección General de Caminos y Canales" que dieron lugar a la carrera de Ingeniería de Caminos, Canales y Puertos. No extraña con estos antecedentes que Betancourt fuera más tarde muy cuidadoso para especificar el procedimiento de hinca de pilotes y el criterio para dar por bueno un pilote a partir de la penetración conseguida en una tanda de golpes, un procedimiento que se ha precisado en las "Fórmulas dinámicas" o "Fórmulas de hinca" que se describen en detalle en el tercer capítulo del libro, que incluye también una sección sobre el análisis de la ecuación de onda para estimar con más precisión las pérdidas de energía asociadas a la hinca.

Con el tiempo, la tipología y procedimientos de construcción de las cimentaciones profundas han crecido hasta convertirse en una especialidad amplia, siempre en evolución, bien ilustrada en el primer capítulo del libro. Junto a ello, se han elaborado métodos de cálculo que se extienden desde la aplicación de sencillas fórmulas empíricas hasta métodos numéricos generales, típicamente los métodos de elementos finitos. En paralelo, el control *in situ* de las previsiones de proyecto mediante pruebas de carga estáticas y dinámicas y los ensayos no destructivos han alcanzado un desarrollo notable. Todo ello se examina en detalle en el libro.

El estudio del comportamiento del pilote, aislado o en grupo, bajo la aplicación de cargas estáticas o dinámicas ha atraído durante décadas la atención de muchos investigadores. Se adivina que existen dificultades que, seguramente, no se encuentran en las cimentaciones superficiales. Si hubiera que aislar un rasgo fundamental de esa dificultad y también de ese interés es que un pilote es el arquetipo de la interacción suelo-estructura. No hace falta explicarlo aquí pero sí recordar que un avance fundamental para entender esa interacción fue la utilización de una solución fundamental de la elasticidad, concretamente la solución de Mindlin para carga concentrada en el interior de un semiespacio, con el fin de entender y cuantificar esa interacción. Los métodos de análisis que surgieron, también conocidos como "métodos de la integral de contorno" simplemente resuelven la compatibilidad de movimientos entre pilotes y suelo (elástico). Estos métodos se describen y están presentes en varios capítulos del libro y han recibido gran atención en la literatura científica y técnica a partir de los años 1970. El origen y la idea fundamental de estos métodos fue el artículo de Jiménez Salas y Belzunce (1965), publicado en el Congreso Mundial de la Sociedad Internacional de Mecánica del Suelo e Ingeniería de Cimentaciones.

Frente a carga lateral, la determinación de la deformada suele hacerse, en la práctica, a través de la representación de la rigidez del suelo mediante un coeficiente de balasto. Los métodos basados en las soluciones elásticas fundamentales también están disponibles. Pero la facilidad de solución del problema de la viga elástica soportada en muelles independientes y su compatibilidad con el cálculo de estructuras han generalizado su uso. La posibilidad de utilizar coeficientes de balasto no lineales con el desplazamiento, como es el caso del método *p-y*, común en los EEUU y adoptado por el American Petroleum Institute para el cálculo de pilotes, explican la popularidad de este procedimiento.

El libro ofrece una información extensa sobre los tipos de pilote disponibles en el mercado, una guía para su elección y para la aplicación de la normativa existente, ofrece soluciones para estimar la resistencia y deformación de pilotes aislados o en grupo, bajo cargas de todo tipo, incluida la tracción o el rozamiento negativo. Los resultados se sintetizan en gráficos o tablas de fácil aplicación y existe también un esfuerzo docente para entrenar al lector en la resolución de algunos problemas, como es el caso de los pilotes o grupos de pilotes bajo carga horizontal. Se incluyen también soluciones teóricas que no suelen encontrarse en los manuales de cimentaciones, como, por ejemplo, el pandeo de pilotes, el asiento de grupos de pilotes determinado mediante el método de la ecuación integral y los pilotes inclinados. En el último capítulo, dedicado al método de elementos finitos, es especialmente interesante la comparación de dos alternativas disponibles: representar los pilotes mediante barras "estructurales" embebidas en la malla de elementos finitos o bien mediante un pilote "volumétrico" discretizado en elementos finitos.

El libro es muy completo. Quizá en futuras revisiones pueda extenderse a algunas aplicaciones o problemas que surgen en ocasiones: la estabilización de deslizamientos mediante barreras de pilotes, el efecto de la excavaciónde túneles en medio

urbano sobre grupos de pilotesy el uso de pilotes como limitadores de asientos de cimentaciones superficiales o terraplenes.

El desarrollo e investigación del comportamiento de pilotes de gran capacidad para resistir cargas horizontales y verticales cíclicas hansido intensos en las últimas décadas debido a la construcción "offshore" de plataformas de exploración y explotación de hidrocarburos y al desarrollo más reciente de generadores eólicos, que habitualmente se cimentan en pilotes aislados de gran diámetro. A pesar de que los métodos tradicionales (tipo *p-y*) se utilizan en su diseño, se observa un uso creciente de los métodos de elementos finitos y leyes constitutivas más próximas al comportamiento del suelo. Seguramente los avances en proyecto, cálculo y procedimientos constructivos que han requerido la cimentación de estas estructuras se generalizarán a otras aplicaciones "terrestres", especialmente en proyectos singulares.

Eduardo Alonso Pérez de Ágreda Barcelona, 11 de julio de 2021

### Referencias

- Adams, J., 1971. Discusión en el 4º Congr. Panam. de Mec. Suelo. Puerto Rico, 3:82-84.
- Ahmadi, M.M. y Ahmari, S., 2009. "Finite-element modelling of laterally loaded piles in clay". Proceedings of the ICE-Geotechnical Engineering, 162(3), 151-163.
- Amir, J.M., 1988. "Wave Velocity in Young Concrete", Proceedings of the 3rd International. Conference on Application of Stress Wave Theory to Piles, Ottawa, pp. 911-912.
- Amir, J.M., 2002. "Single-tube ultrasonic testing of pile integrity". Deep Foundations 2002: An International Perspective on Theory, Design, Construction, and Performance, pp. 836-850.
- ASTM International, 2007. "D 5882 07 Standard Test Method for Low Strain Impact Integrity Testing of Deep Foundations".
- ASTM International, 2002. "D 6760 02 Standard Test Method for Integrity Testing of Concrete Deep Foundations by Ultrasonic Crosshole Testing.
- Baguelin, F., Jézéquel, J.F., y Shields, D.H., 1978. "The pressuremeter and foundation Engineering". Trans Tech Publications, Suiza.
- Baligh, M.M., Vivatrat, V. y Figi, H., 1978. "Downdrag on bitumen-coated piles". J. Geotech. Eng., ASCE, GT11:1355-1370.
- Banerjee, P.K. y Davies, T.G., 1978. "The behaviour of axially and laterally loaded single piles embedded in nonhomogeneous soils". Géotechnique, 28: 3: 309326.
- Banerjee, P.K. y Davies, T.G., 1980. "Analysis of some reported case histories of laterally loaded pile groups". Proceedings Int. Numerical Methods in Offshore Piling". London: 101-108. Institution of Civil Engineers (ICE).
- Banerjee, P.K. y Driscoll, R.M., 1976. "Three-dimensional analysis of raked pile groups". Proceedings Inst. Civil Eng., Part 2, 61: 653-671.
- Barden, L. y Monckton, M.F., 1970. "Tests on Model Pile Groups in Soft and Stiff Clay". Géotechnique, Vol. 20: 90-96.
- Begemann, H.K.S., 1965. "The maximum pulling force on a single tension pile calculated on the basis of results of the adhesion jacket cone". Proc. 6th Int. Conf. S.M. & F.E., 2:229-233.
- Begemann, H.K.S. Ph., 1973. "Alternating loading and pulling tests on steel I-beam piles". 8° Cong. Int. Mec. Suelo, Moscú, 2.1:13-17.

- Beim, G., Beim, J., y Lima, S.C., 2015. "El Ensayo de Integridad por Perfil Térmico, un nuevo método para evaluación de integridad de cimentaciones profundas". Fundamentals to Applications in Geotechnics D. Manzanal and A.O. Sfriso (Eds.) IOS Press, pp 634-641.
- Berezantzev, V.G., Khristoforov, V. y Golubkov, V, 1961. "Load Bearing Capacity and Deformation of Piled Foundations". Proc. 5th Int. Conf. S.M. & F.E., Vol. 2: 11-15.
- Beringen, F.L., Windle, D. y Van Hooydonk, W.R., 1980. "Results of loading tests on driven piles in sand". 'Recent Developments in the Design and Construction of Piles' I.C.E., Londres. 213-225.
- Beringen, F. L. y Heijnen, W. J., 1985. "Design methods for pile foundations". 'The Netherlands Commemorative Volume', 11th ICSMFE, San Francisco, 5457.
- Bjerrum, L. 1957. "Norwegian experiences with steel piles to rock". Géotechnique, 7: 2: 73-96.
- Bjerrum, L., Johannessen, I.J. y Eide, O., 1969. "Reduction of negative skin friction on steel piles to rock". 7° Cong. Int. Mec. Suelo, Méjico, 2:27-34.
- Bjerrum, L. 1973. "Problems of soil mechanics and construction on soft clays and structurally unstable soils (collapsible, expansive and others)". Proc. 8th Conf. S.M. & F.E., Moscow, pp. 111-159.
- Bolton, M.D., 1986. "The strength and dilatancy of sands". Géotechnique, 36:1: 65-78.
- Borrero, E., 2001. "Costes de cimentaciones profundas". Trabajo para curso de doctorado Cimentaciones Profundas. Departamento de Mecánica de Medios Continuos, Universidad de Sevilla.
- Brinkgreve R.B.J. y Swolfs W.M., 2007. Plaxis 3D Foundation. Version 2. Plaxis BV, Delft, The Netherlands.
- Brinkgreve, R.B.J., Kumarswamy, S. y Swolfs, W.M., 2015. "PLAXIS 3D Anniversary Edition". Plaxis BV, Delft, The Netherlands.
- Bromham, S.B. y Styles, J.R., 1971. "An Analysis of Pile Loading Tests in a Stiff Clay". Proc. 1st Aust.-N.Z. Conf. Geomechs., Melbourne, Vol. 1: 246-253.
- Broms, B. B., 1964 a. "Lateral resistance of piles in cohesive soils". J. Soil Mech., ASCE, 90: SM2:2763.
- Broms, B. B., 1964 b. "Lateral resistance of piles in cohesionless soils". J. Soil Mech., ASCE, 90: SM3: 123 156.
- Brons, K. F., 1985. "Construction methods". 'The Netherlands Commemorative Volume'. 11th ICSMFE, San Francisco, 7182.
- Brons, K.F., Amesz, A.W. y Rinck, J., 1969. "The negative skin friction along the shaft of a foundation pile". 7° Cong. Int. Mec. Suelo, Méjico, Sesión Especial 8.
- Brown, D.A., Morrison, C. and Reese, I.C. 1988. Laterally loaded behavior of pile group in sand. Journal of Geotechnical Engineering, ASCE, 114. No 11: 1261-1276.
- Burgess, I.W., 1976. "The stability of slender piles during driving". Géotechnique. Vol. 26, nº 2, pp. 281-292.
- Burgess, I.W., 1979. "Analytical studies of pile wandering during installation". International J. for Numerical and Analytical Methods in Geomechanics. Vol. 30, no 1, pp. 49-62.
- Burland , J. B. y Cooke, R. W., 1974. "The design of bored piles in stiff days". B.R.E., CP 99/74.
- Butler, F.G. y Morton, K., 1971. "Specification and performance of test piles in clay". 'Behaviour of Piles' pp. 17-26.
- Butterfield, R. y Bannerjee, P.K., 1971. "The elastic analysis of compressible piles and pile groups". Géotechnique 21, N° 1, 43-60.

- Byrne, B.W., Houlsby, G.T., 2018. "Helical piles: an innovative foundation design option for offshore wind turbines". Phil. Trans. R. Soc. A 373: 20140081.
- Candela, J., 1984. "Analizador electrónico de hinca de pilotes". Terratest.
- CEN, 1997. Eurocode 7, Part 1. "Geotechnical Design, General Rules". European Committee for Standardization.
- CEN, 2020, prEN 1997-3\_Geotechnical design-Geotechnical structures (final PTs draft 2019-10).
- CEN/TC 250 Eurocódigos estructurales, 2010. "UNE-EN 1997-1:2010. Eurocódigo 7: Provecto geotécnico. Parte 1: Reglas generales".
- CEN/TC 250 Eurocódigos estructurales, 2010. "UNE-EN 1997-1:2010. Eurocódigo 7: Proyecto geotécnico. Parte 1: Reglas generales".
- CEN/TC 288 Ejecución de trabajos especiales de geotecnia, 2000. "UNE-EN 1536:2000. Ejecución de trabajos especiales de geotecnia. Pilotes perforados".
- CEN/TC 288 Ejecución de trabajos especiales de geotecnia, 2001. "UNE-EN 12699:2001. Ejecución de trabajos especiales de geotecnia. Pilotes de desplazamiento".
- CEN/TC 288 Ejecución de trabajos especiales de geotecnia, 2000. "UNE-EN 1536:2000. Ejecución de trabajos especiales de geotecnia. Pilotes perforados".
- CEN/TC 288 Ejecución de trabajos especiales de geotecnia, 2001. "UNE-EN 12699:2001. Ejecución de trabajos especiales de geotecnia. Pilotes de desplazamiento".
- Código Técnico de la Edificación (CTE). Documento básico SE-C. Cimientos.
- Comodromos, E.M., Papadopoulou, M.C. y Rentzeperis, I.K., 2009. "Pile foundation analysis and design using experimental data and 3-D numerical analysis". Computers and Geotechnics, 36(5), 819-836.
- Coyle, H.M. y Reese, L.C., 1966. Load transfer for axially loaded piles in clay. Journal of the Soil Mechanics and Foundations Division, ASCE, 92(2), 1-26.
- Cooke, R.W. y Price, G., 1973. "Strains and displacements around friction piles". 8° Cong. Int. Mec. Suelo, Moscú. 2.1:53-60.
- Cox, W. R., Reese, L. C., and Grubbs, B. R. 1974. "Field testing of laterally loaded piles in sand." In Proceedings, Sixth Annual Offshore Technology Conference, 6-8 May, 1974, Houston Texas, Paper N° 2079, Offshore Technology Conference, Houston, Texas, 459-472.
- CTE DB SE-C, 2008. "Texto modificado por RD 1371/2007, de 19 de octubre (BOE 23/10/2007) y corrección de errores (BOE 25/01/2008).
- Cui, D.M., Yan, W., Wang, X.Q. y Lu, L.M., 2017. "Towards intelligent interpretation of low strain pile integrity testing results using machine learning techniques". Sensors, 17(11), 2443.
- Cheng, D.H. y Garrelick, J.M., 1969." Stability of partly embedded foundation piles". J. Structural Div., ASCE. Technical Notes, 95: St-5: May: 1033-1036.
- Cheng, S., Zhang, Q-q., Li, S-c., Li, L-p., Zhang, S-m., y Wang, K. (2018). "Nonlinear analysis of the response of a single pile subjected to tension load using a hyperbolic model" European Journal of Environmental and Civil Engineering, 22: 2: 181-191.
- Chik, Z., Abbas, J., Taha, M. y Shafiqu, Q.S.M., 2009. "Lateral behavior of single pile in cohesionless soil subjected to both vertical and horizontal loads". European Journal Science Research, 29(2), 194-205.
- Chin, F.K. y Vail, A.J., 1973. "Behaviour of piles in alluvium". 8° Cong. Int. Mec. Suelo, Moscú, 2.1: 47-52.

- Chin, J.T. y Poulos, G., 1991. "Axially loaded vertical piles and pile groups in layered soil". International Journal for Numerical and Analytical Methods in Geomechanics. Vol. 15, 497-511.
- Chow, H. y Small, J., 2008. "Case histories for piled rafts". Proc. BGA Int. conference on foundations. Dundee, 2008. pp. 451-462.
- D'Apolonia, D.J. y Lambe, T.W., 1971. "Floating foundations for control of settlement". J. Soil Mech., A.S.C.E., 95: 263-284.
- D'Appolonia, E. y Romualdi, J.P., 1963. "Load transfer in endbearing steel Hpiles". J. Soil Mech., ASCE, Vol. 89: SM2: 125.
- Das, B.M., 1983. "A procedure for estimation of uplift capacity of rough piles". Soils & Foundations, 23:3:122-126.
- Das, B.M., Seeley, G.R. y Raghu, D., 1976. "Uplift capacity of model piles under oblique loads". J. Geotech. Eng., ASCE, 102:GT9:1009-1013.
- Davisson, M. T. & Gill, H. L. 1963. Laterally loaded piles in a layered soil system. Journal of the Soil Mechanic and Foundations Division, ASCE, 89, N° SM3, 63-94.
- Davisson, M.T. y Robinson, K.E., 1965. "Bending and buckling of partially embedded piles". Proceeds. 6th Int. Cong on Soil Mech. and Found. Eng. Montreal. Vol. 11, pp. 243-246.
- De Beer, E.E., 1963. "The scale effect in the transposition of the results of deep sounding tests on the ultimate bearing capacity of piles and caisson foundations". Géotechnique, 13:1: 39-75.
- De Beer, 1980. Discusiones. 'Recent Developments in The Design and Construction of Piles', 8184
- Derbyshire, P. H., 1984. "Continuous flight auger piling in the UK". 'Piling & Ground Treatment', 8792.
- Douglas, D. J., 1984. Discusiones. 'Piling & Ground Treatment', 283.
- Douglas, D.J. y Davis, E.H., 1964. "The Movement of Buried Footings Due to Moment and Horizontal Load and the Movement of Anchor Plates". Geot., Vol. 14: 115-132.
- Echave, J. M. "Tipología de pilotes". Curso sobre Cimentaciones por Pilotes, Terratest.
- Endo, M., Kawasaki, T. y Shibata, T., 1969. "Negative skin friction on steel pipe pile in clay". 7° Cong. Int. Mec. Suelo, México, 2:85-92.
- Engin, H.K., Septanika, E.G. y Brinkgreve, R.B.J., 2007. "Improved embedded beam elements for the modelling of piles". En: Pietruszczak, Pande, editores. Proc. 10th international symposium on numerical models in geomechanics (NUMOG). Rhodes, Greece, London: Taylor ¬ Francis Group, pp. 475-480.
- Engin, H.K., Septanika, E.G. y Brinkgreve, R.B.J., 2008. "Estimation of pile group behaviour using embedded piles". En: Singh, editor. Proc. 12th International conference of the international association of computer methods and advances in geomechanics (IACMAG), Goa, India, pp. 3231-3238.
- Engin, H.K., Septanika, E.G., Brinkgreve, R.B.J. y Bonnier, P.G., 2009. "Modelling piled foundation by means of embedded piles". En: Karstunen, Leoni, editores. Proc. 2<sup>nd</sup> Int. workshop on geotechnics of soft soils-focus on ground improvement. Glasgow, Escocia, pp. 131-136.
- El-Mossallamy, Y., 1999. "Load-settlement behaviour of a large diameter bored pile in over-consolidated clay". Proceedings of the 7th International Symposium on Numerical Models in Geotechnical Engineering, Gratz, Austria, pp. 443-450.

- Evangelista, A. y Viggiani, C., 1976. "Accuracy of numerical solutions for laterally loaded piles in elastic half-space". Proc. 2nd international conference numerical methods geomechanics, Blacksburgh, Virginia, 3: 1367-1370.
- Ezeberry, J.I., Ambrosini, D.R. y Danesi, R.F., 2003. "Identificación de defectos en pilotes". Mecánica Computacional Vol. XXII. M.B. Rosales, V.H. Cortínez y D.V. Bambill Editores, Bahía Blanca, Argentina, pp. 799-813.
- Feda, J., 1971. "Some experiences with cat-in-situ concrete piles". Proc. 4th Asian Reg. Conf. Soil Mechanics, 1: 257-261.
- Fellenius, B. H., & Altaee, A. A. (1995). "Critical depth: how it came into being and why it does not exist". Proceedings of the Institution of Civil Engineers-Geotechnical Engineering, 113(2): 107-111.
- Fernández-Tadeo, C. y García, E.T., 2000. "Los ensayos de integridad estructural de pilotes. Situación actual en España y perspectivas". Simposio de la Sociedad Española de Mecánica del Suelo e Ingeniería Geotécnica, Barcelona setiembre de 2000.
- Fleming, W.G.K. y Sliwinski, Z.J., 1977. "The use and influence of bentonite in bored pile construction". CIRIA, Report PG3.
- Fleming, W. G. K. y Thorburn, S., 1984. "Recent piling advances". 'Piling & Ground Treatment', 116.
- Fleming, W. G. K., Weltman, A. J., Randolph, M. F. y Elson, W. K., 1985. "Piling Engineering" Surrey Univ. Press.
- Franke, E. 1988. "Group action between vertical piles under horizontal loads, in Deep Foundations on Bored and Augur Piles". W. F. V. Impe, Ed., Balkema, Rotterdam, Netherlands.
- Gaoa, F., Yana, W. y Geb, F., 2010. "Geotechnical investigation and tension-pile solution for foundation of SFT prototype at Qiandao Lake". Procedia Engineering, 4: 127-134.
- Gaviria, C.A., Gómez, D. y Thomson, P., 2009. "Evaluación de la integridad de cimentaciones profundas: Análisis y verificación *in situ*". Dyna, 76(159), pp. 23-33.
- Gibson, T., 1878. "The Huelva Pier of the Rio Tinto Railway". Excerpt Minutes Proc. Inst. Civil Eng., London, Vol. 53, Session 1877-78, Part. 3, 1-31.
- Glanville, W.H., Grime, G., Fox, E.N. y Davies, W.W., 1938. "An Investigation of the Stresses in Reinforced Concrete Piles During Driving". Br. Bldg. Res. Bd., tech. paper no 20, D.S.I.R.
- Greenfield, F.C., 1971. "Early settlement of tall buildings founded on piles in London clay". 'Behaviour of Piles'. pp. 71-78.
- Guía de Cimentaciones en Obras de Carreteras, 2009. Serie monográfica. Dirección General de Carreteras. Ministerio de Fomento.
- Hanna, T.H., 1968. "The bending of long H-section piles". Canadian Geotechnical Journal, Vol 5, pp. 150-172.
- Harris, F., 1983. 'Ground Engineering'. McGraw-Hill, N.Y.
- Heelis, M.E., Pavlovic, M.N., y West, R.P. (2004). "The analytical prediction of the bucling loads of fully and partially embedded piles". Géotechnique, 54(6): 363-373.
- Hegedus, E. y Khosla, V.K. (1984). "Pullout resistance of H piles". J. Geotech. Eng., ASCE, 110: 9.
- Heijnen, W.J., 1985. "Design of foundations and earthworks". 'The Netherlands Commemorative Volume'. 11th ICSMFE, San Francisco, 5370.
- Heins, W.F., 1976. "Strain-controlled pulling tests on pile groups". 6° Cong. Europeo Mec. Suelo, Viena, 1.2: 449-452.

- Hetenyi, M., 1946. "Beams on Elastic Foundations". Ann Arbor, Mich.: Univ. of Mich. Press. Hoadley, P.J., 1974. "Pile Stability. Part. 2: Non-elastic". Proc. of the Conf. on Analysis and Design in Geotechnical Engineering., A.S.C.E., Texas, 1: 245-267.
- Holloway, D.M., Moriwaki, Y., Stevens, J.B. and Perez, J.Y. 1981. "Response of a pile group to combined axial and lateral loading". Proceedings of The 10<sup>th</sup> Int. Conference on Soil Mechanics and Foundation Engineering, Vol.2, Boulimia Publishers, Stockholm, Sweden, pp. 731-734.
- Holeyman, A.E., 1992. "Technology of pile dynamic testing". Keynote lectura. Proceedings of the fourth international conference on the application of stress waves theory to piles, The Hague, The Netherlands, pp. 195-215.
- Huang, J. y Bin-Shafique, S., 2012. "Numerical modeling of piles subjected to an underground lateral load". GeoCongress 2012: State of the Art and Practice in Geotechnical Engineering, pp. 51-59.
- Hussein, M. y Goble, G., 1996. "A brief history of the application of stress-wave theory to piles". Proceedings of the Stress-Wave Conference 1996.
- Indraratna, B., Balasubramaniam, A.S., Phamvan, P. y Wong, Y.K., 1992. "Development of negative skin friction on driven piles in soft Bangkok clay". Can. Geotech. J., 29(3): 393-404.
- Institution of Civil Engineers, 1996. "Specification for piling and embedded retaining wall". Thomas Telford, Londres.
- International Society for Rock Mechanics, 1981. "Rock Characterization Testing and Monitoring", Pergamon Press.
- Ismael, N.F. y Klym, T.W., 1979. "Uplift and bearing capacity of short piers in sand". J. Geotech. Eng., 105:GT5: 579-594.
- Jamiolkowski, M. y Lancellotta, R., 1988. "Relevance of in-situ test results for evaluation of allowable base resistance of bored piles in sands". "International geotechnical seminar on deep foundations on bored and auger piles": 107-120.
- Jeong, jS., Kim, S. y Briadu, J.L., 1997. "Analysis of downdrag on pile groups by the finite element method". Computers and Geotechnics, 21:2: 143-161.
- Jiménez Salas, J. A., 1980. "La hinca dinámica de pilotes". 'Geotecnia y Cimientos III'. Rueda, Madrid, 2: 302-353.
- Jiménez Salas, J.A. y Arrechea, J., 1965. "Resolution théorique de la distribution des forces dans les pieux". 6th ICSMFE, 2: 309313.
- Jiménez Salas, J. A., Justo, J. L. y Serrano, A., 1981. "Geotecnia y Cimientos II". Rueda, Madrid.
- Justo, J.L., 1993. "La integración de la fórmula de asientos de Mindlin para carga anular". Revista Internacional de Métodos Numéricos para Cálculo y Diseño en Ingeniería, 9:1: 35-57.
- Justo, J.L. y Sánchez-Langeber. J. Ma, 2001. "Interaction between two piles in any direction. Proc. 15th Int. Conf. Soil mech. And Gound. Eng., Estambul, 3: 923-926.
- Justo, J.L., Vázquez-Carretero, N. y Justo, E. 2002. "Rozamiento negativo en pilotes producido por la subsidencia en Murcia". Ingeniería Civil, 125: 95-103.
- Justo, J.L., Arcos, J.L., Justo, E., Gil, R., Vázquez-Boza, M., Martín, F. y Durand, P., 2016." A hollow pile extended with a micro-pile: tests and modelling". Proc. Inst. Civil Eng.- Geotechnical Engineering; 43:174-185.
- Kerisel, J. y Adam, M., 1967. "Calcul des forces horizontales applicables aux fondations profondes dans les argiles et limons". Annales L.T.B.T.P., N° 239: 1653.
- Kim, Y. y Jeong, S., 2011. "Analysis of soil resistance on laterally loaded piles based on 3D soil-pile interaction". Computers and Geotechnics, 38, 248-257.

- Kim, Y., Jeong, S. y Won, J.O., 2009. "Effect of lateral rigidity of offshore piles using proposed p-y curves in marine clay". *Marine Georesources and Geotechnology*, 27(1), 53-77.
- Kishida, H. y Meyerhof, G.G., 1965. "Bearing Capacity of Pile Groups Under Eccentric Loads in Sand". Proc. 5th Int. Conf. S.M. & F.E., Vol. 2: 270-274.
- Komornik, A., Wiseman, G. y Zeitlen, J.G., 1971. "Comparison of test performance with predicted behaviour for piles driven in sand". 4th Asian Reg. Conf., Bangkok, Vol. 1: 281-286.
- Kulhawy, F.H., Kozera, D.W. y Withiam, J.L., 1979. "Uplift testing of model drilled shafts in sand". J. Geotech. Eng. Div., ASCE, 105: 31-47.
- Law, K.T., 1982. "Numerical analysis of pile loading and pulling tests". Proc. 4<sup>th</sup> Int. Conf. Num. Methods in Geomechanics, Edmonton (Canadá), Vol. 2:825-833.
- Lee, C.Y., 1991. "Discrete layer analysis of axially loaded piles and pile groups". Computers and Geotechnics, 11: 295-313.
- Lee, C.Y. y Small, J.C., 1991. "Finite-layer analysis of axially loaded piles". Journal of Geotechnical Engineering. Vol. 117, 1706-1722.
- Lee, K.M. y Xiao, R.X., 1999. "A new analytical model for settlement analysis of a single pile in multi-layered soil". Soils Found., 39(5): 131-143.
- Lee, S.L., Kog, Y.C. y Karunaratne, G.P., 1987. "Axially loaded piles in layered soil". Journal of Geotechnical Engineering, Vol. 113, No 4: 366-381.
- Lee, S.W., Cheang, W.W.I., Swolfs, W.M., Brinkgreve, R.B.J., 2010. "Modelling pile rafts with different pile models". En: Benz, Nordal, editores. Proc. numerical methods in geotechnical engineering NUMGE 2010. Trondheim, Norway. Londres: Taylor & Francis Group, pp. 637-642.
- Leung, Ch.F., Radhakrishnan, R. y Tan, S., 1991. "Performance of precast driven piles in marine clay". J. Geotech. Eng., ASCE, 117(4): 637-657.
- Levacher, D.R. y Sieffert, J.G., 1984. "Tests on model tension piles". J. Geotech. Eng., 110:12: 1735-1748.
- Likins, G.E. y Rausche, F., 2000. "Recent advances and proper use of PDI low strain pile integrity testing". Memories Sixth International Conference on the Application of Stress-wave Theory to Piles. São Paulo, Brazil, pp. 211-218.
- Lo, K.Y., 1967. "discussion to paper by by Y.O. Beredugo. Can. Geotech. J., 4: 353-354.
- Mansur, Ch.I. y Hunter, A.H., 1970. "Pile tests Arkansas River project". J. Soil Mech., ASCE, 96:SM5: 1545-1582.
- Manual CAPWAP<sup>©</sup> CAse Pile Wave Analysis Program. Pile Dynamics, Inc.
- Manual GRLWEAP<sup>TM</sup> Wave Equation Analysis of Pile Driving. Pile Dynamics, Inc.
- Matlock, H., 1970. "Correlations for design of laterally loaded piles in soft clay". Proceedings of the 2nd Annual Offshore Technology Conference, Houston, Texas, Vol. 1, pp. 577-594.
- Mattes, N.S. y Poulos, H.G., 1969. "Settlement of single compressible pile". J. Soil Mech., ASCE, 95:SM1: 189207.
- McClelland, B. and Focht, J. A., Jr. 1958. "Soil modulus for laterally loaded piles." Trans., A.S.C.E., Paper N° 2954, 123, 1049-1063.
- McCammon, N.R. y Golder, H.B., 1970. "Some loading tests on long pipe piles". Géotechnique., 20: 171-184.
- Mey, R., Oteo, C. S., Sánchez del Río, J. y Soriano, A., 1986. "Ensayos de carga de grandes pilotes hincados". Bol. Soc. Esp. Mec. Suelo, 8384:310.
- Meyerhof, G. G., 1956. "Penetration tests and bearing capacity of cohesionless soils". J. Soil Mech., SM1, 119.

- Meyerhof, G.G., 1959. "Compaction of Sands and Bearing Capacity of Piles". J.S.M.F.D., ASCE, Vol. 85:SM6: 1-29.
- Meyerhof, G.G., 1973. "Uplift resistance of inclined anchors and piles". 8° Cong. Int. Mec. Suelo, Moscú, 2.1: 167-172.
- Meyerhof, G.G., 1976. "Bearing capacity and settlement of pile foundations". J. Geot. Eng. Div., ASCE, 102: GT3: 195-228.
- Meyerhof, G.G. y Murdock, L.J., 1953. "An investigation of the bearing capacity of some bored and driven piles in London Clay". Geot., Vol. 3: 267.
- Middendorp, P., 2005. "Method statement sonic integrity testing (pile integrity testing)".
- Mindlin, R.D., 1936. "Force at a point in the interior of a semi-infinite solid. J Appl. Phys., 7: 195-202.
- Ministerio de Fomento, 1999. "Instrucción de Hormigón Estructural". Ministerio de Fomento, Madrid.
- Ministerio de Fomento. 2005. GPEMOC. "Guía para el proyecto y la ejecución de micropilotes en obras de carretera". Dirección General de Carreteras. Madrid. España.
- Ministerio de Fomento, 2005. "ROM 0.5-05\_Recomendaciones Geotécnicas para Obras Marítimas y Portuarias". Ministerio de Fomento. Puertos del Estado. ISBN: 84-88975-52-X.
- Ministerio de Fomento, 2006. CTE-SE-C "Código Técnico de la Edificación. Documento Básico Seguridad Estructural. Cimientos". Ministerio de Fomento. Madrid.
- Ministerio de Fomento. 2009. GCOC. "Guía de cimentaciones de obras de carretera". Dirección General de Carreteras.. Madrid. España.
- Mohan, D. y Chandra, S., 1961. "Frictional Resistance of Bored Piles in Expansive Clays". Geot., Vol. 11: 291.
- Ninic', J., Stascheit, J. y Meschke, G., 2014. "Beam–solid contact formulation for finite element analysis of pile–soil interaction with arbitrary discretization". Int. J. Numer. Anal. Methods in Geomech., 38: 1453-1476.
- Ochoa, M. and O'Neill, M. W. (1989). "Lateral pile interaction factors in submerged sand." J. Geotech. Eng., ASCE, 115(3), 359-378.
- O'Dell, L. G. y Pool, J. M., 1979. "Augerplaced grout piles in gravel". 'Deep Foundations'. ASCE, 300310.
- Olalla, C. 2005. "Pilotes en suelos cohesivos". Gabinete de Tele-Educación, UPM.
- Oteo, C., 1972. "Deformación de un grupo de pilotes verticales, solicitado por esfuerzos laterales". Proc. 5th Eur. Conf. S.M. & F.E., Madrid, Vol. 1: 397-405.
- Oteo, C., 1980. "Interacción pilotesterreno: acciones internas". Geotecnia y Cimientos III, 1:433485.
- Packshaw, S., 1951. "Pile driving in difficult conditions". ICE Introductory Note.
- Paikowsky, S.G. y Chernauskas, L.R., 2003. "Review of deep foundations integrity testing-methods and case histories". BSCES-geo-institute deep foundations seminar, pp. 1-30.
- Parker, A.S. y Bayliss, F.V.S., 1971. "The settlement behaviour of a group of large silos on piled foundations". 'Behaviour of Piles', pp. 59-70.
- Peck, R.B., W.E. Hanson & T.H. Thorburn 1974. "Foundation engineering". 2nd edn. New York: Wiley.
- Pile Dynamics, Inc., 2005. "GRLWEAP™ Wave Equation Analysis of Pile Driving. Procedures and Models". Program Manual.
- Pile Dynamics, Inc., 2000. "CAPWAP®. Case Pile Wave Analysis Program". CAPWAP Manual.
- Poulos, H.G., 1968. "Analysis of the settlement of pile groups". Géotechnique, 18: 4: 449-471.

- Poulos, H.G., 1971a. "Behaviour of laterally loaded piles: I-Single piles". J. Soil Mech. Foundation Div., 97(5): 711-731.
- Poulos, H.G., 1971b. "Behaviour of laterally loaded piles: II-Pile groups". J. Soil Mech. Foundation Div., 97(5): 733-751.
- Poulos, H.G., 1975. "Torsional response of piles". J. Soil Mech. Foundation Div., 101(10): 1019-1035.
- Poulos, H.G., 1979. "Settlement of single piles in non-homogeneus soils". J. Geotech. Eng., 105: GT5: 627-641.
- Poulos, H.G., 1981. "Cyclic axial response of single pile". J. Geotech. Eng., 107:GT1:41-58.
- Poulos, H.G., 1989. "Pile behaviour-theory and applications". Géotechnique, 39: 365-415.
  - Poulos, H.G. y Davis, E.H., 1968. "The settlement behaviour of single axially loaded incompressible piles and piers". Géotechnique, 18: 351-371.
- Poulos, H. G. & Davis, E. H. 1980. "Pile foundation analysis and design". John Wiley & Sons, Inc. New York. USA.
  - Poulos, H.G. y Madhav, M.R., 1971. "Analysis of movement of battered piles". Proc. 1st Australia-New Zealand Conf. On Geomech., Melbourne (Australia), 1: 268-275.
- Poulos, H.G. y Mattes, N. S., 1969. "The behaviour of axially loaded end-bearing piles". Géotechnique, 29: 285-300.
- Poulos, H.G. y Randolph, M.F., 1983. "Pile groups analysis: a study of two methods". J. of Geotechnical Eng., 109(3): 355-372.
- Prakash, S., and Saran, D. 1967. Behaviour of laterally loaded piles in cohesive soil. In. Proceedings of the 3rd Asian Regional Conference on Soil Mechanics and Foundation Engineering, Haifa, Vol. 1, pp. 235-239.
- Prieto Domínguez, M., 2012: "Aplicación del Eurocódigo 7 al dimensionamiento de cimentaciones por pilotes". Máster en mecánica del suelo e ingeniería geotécnica. CEDEX.
- Qian, J-G., Gao, Q., Wang, B., Xue, J-F. y Huang, M-S. (2017). "Physical and numerical pull-out modelling of ribbed piles". Proc. of the Institution of Civil Engineers, Geotechnical Engineering, 170: GE1: 51-61.
- Randolph, M.F., 1980. "PIGLET: A computer program for the analysis and design of pile groups under general loading conditions". Soil report TR91, CUED/D. Cambridge Univ, England.
- Randolph, M.F., 1981. "The response of flexible piles to lateral loading". Géotechnique, 31(2): 247-59.
- Randolph, M.F. y Wroth, C.P., 1978. "Analysis of deformation of vertically loaded piles". J. of the Geotechnical Engineering Division. Vol. 104: 1465-1488.
- Randolph, M.F. y Wroth, C.P., 1979. "An analysis of the vertical deformation of pile groups". Géotechnique, 29(4): 423-439.
- Randolph, M.F. y Wroth, C.P., 1982. "Recent developments in understanding the axial capacity of piles in clay". Ground Engineering, 15:7: 17-32.
- Randolph, M.F., Dolwin, J. y Beck, R., 1994. "Design of driven piles in sand". Géotechnique, 44:3: 427-448.
- Rathmell, B. T., 1984. Discusiones. 'Piling & Ground Treatment', 117.
- Rausche, F., 2004. "Non-Destructive Evaluation of Deep Foundations". International Conference on Case Histories in Geotechnical Engineering, 5.
- Rausche, F., Likins, G.E. y Hussein, M., 1988. "Pile integrity by low and high strain impacts". Third International Conference on the Application of Stress-Wave Theory to Piles, Vol. 25, p. 27.

- Recomendaciones Geotécnicas para Obras Marítimas y/o Portuarias. ROM 0.5-05 2005. Puertos del Estado, Ministerio de Fomento.
- Reddy, A.S. y Valsangkar, A.J., 1970. "Buckling of fully and partly embedded piles". J. Soil Mech. & Foundations Div. ASCE, 96:SM6: 1951-1965.
- Reese, L. C. y Cox, W. R. 1969. "Soil behaviour from analysis of tests of uninstrumented piles under lateral loading". Performance of Deep Fdns., ASTM STP 444, 160-176.
- Reese, L. C., y Matlock, H. 1956. Non-Dimensional Solutions for Laterally Loaded Piles With Soil Modulus Assumed Proportional to Depth. Proceedings eighth international conference on Soil Mechanics and Foundation Eng. Austin (Texas), pp. 1-41.
- Reese, L.C. y Welch, R.C., 1975. "Lateral loading of deep foundations in stiff clay". Journal of the Geotechnical Engineering Division, ASCE, 101(7), 633-649.
- Reese, L.C., Cox, W.R. and Koop, F.D. 1974. "Analysis of laterally loaded pile in sand". Proceedings of The 6th Annual Offshore Technology Conference, Paper no 2080. Richardson, Texas, US. 473-483.
- Reese, L. C., Cox, W. R., and Koop, F. D. 1975. "Field testing and analysis of laterally loaded piles in stiff clay." In Proceedings, Seventh Annual Offshore Technology Conference, Paper No 2312, Houston, Texas, 671-690.
- Rocscience. software en 2D y 3D para Ingenieros civiles, Caminos, Minas y Geólogos. Grupo de Ingeniería de Rocas de la Universidad de Toronto. Canadá.
- Rollins, K.M., Peterson K.T. and Weaver T.J. 1998. Lateral load behaviour of full-scale pile group in clay. Journal of Geotechnical and Geoenvironmental Engineering, ASCE. 124. N°6: 468-478.
- Roscoe, G. H., 1984 a. "The behaviour of flight auger bored piles in sand". 'Piling & Ground Treatment', 241-250.
- Roscoe, 1984b. Discusiones. 'Piling and Ground Treatment'. Thomas Telford, Londres, 289.
- Russo, G., 2004. "Full-scale load tests on instrumented micropiles". Proceedings of the ICE-Geotechnical Engineering, 157(3), 127-135.
- Sadek, M. y Sharour, I., 2004. "A three-dimensional embedded beam element for reinforced geomaterials". Int. J. Numer. Anal. Methods in Geomech., 28: 931-946.
- Sanchez, F., García, J.L., Heras, C. de las, Echave, J.M., Muñoz, J.J., Ríos, J.L., 2008. "Recomendaciones para la ejecución e interpretación de ensayos de integridad de pilotes y pantallas in situ". Laboratorio de Geotecnia del Cedex, Ministerio de Fomento, Madrid.
- Sanchez Langeber, J.M., 2000. "Comportamiento de grupos de pilotes inclinados en un medio elástico. Tesis doctoral, Univ. Sevilla.
- Schwerdtfeger, W.J., 1965. "Soil Resistivity as Related to Underground Corrosion and Cathodic Protection". Journal of Research of the National Bureau of Standards. C. Engineering and Instrumentation. Vol. 69C, No 1.
- Shanz, T., Vermeer, P.A. y Bonnier, P.G., 1999. "The hardening-soil model: formulation and verification. In: Brinkgreve, editor. Beyond 2000 in Computational Geotechnics: Ten Years of PLAXIS International". Balkema, Rotterdam, Holanda, pp. 281-290.
- Simons, N.E. Comunicación personal.
- Siva Reddy, A. y Valsangkar, A.J., 1970. "Buckling of fully and partially embedded piles". J. of the Soil Mech. and F.D., A.S.C.E., Vol. 96, no SM-6, pp. 1951-1965.
- Skempton, A.W., 1953. Discussion. Proc. 3rd Int. Conf. on Soil Mech. and Found. Eng., Zurich, Vol. III, p. 172.
- Skempton, A.W., 1959. "Cast-in-situ bored piles in London clay". Géotechnique, 9: 158.

- Small, J.C. y Booker, J.R., 1984. "Finite layer analysis of layered elastic materials using a flexibility approach. Part 1-Strip loadings". International Journal for Numerical Methods in Engineering, Vol. 20, 1025-1037.
- Small, J.C. y Booker, J.R., 1986. "Finite layer analysis of layered elastic materials using a flexibility approach. Part 2- Circular and rectangular loadings". International Journal for Numerical Methods in Engineering, Vol. 23, 959-978.
- Sowa, V.A., 1970. "Pulling capacity of concrete cast *in situ* bored piles". Can Geotech. J., 7: 482-493.
- Sowers, G.F., Martin, C.B., Wilson, L.L. y Fausold, M, 1961. "The Bearing Capacity of Friction Pile Groups in Homogeneous Clay from Model Studies". Proc. 5th Int. Conf. S.M. & F.E., Vol. 2: 155-159.
- Sorensen, T. y Hansen, B., 1957. "The driving formulae an investigation based on dimensional considerations and a statistical analysis". 4th ICSMFE, 2:61.
- Stermac, A.G., Selby, K.G. y Devata, M., 1969. "Behaviour of various types of piles in a stiff clay". 7° Cong. Int. Mec. Suelo, México, 2: 239-245.
- Tejchman, A., 1971. "Skin friction of a model pile driven in sand". D.G.I., Bull. 29, 5-26.
- Teng, W.C., 1962. "Foundation Design". Prentice-Hall, Londres.
- Terzaghi, Karl, 1955. "Evaluation of Coefficients of Subgrade Reaction". Geotecnique, Vol. 5, nº 4, pp. 297-326.
- Terzaghi, K. y Peck, R. B., 1967. "Soil Mechanics in Engineering Practice". Wiley, N. Y.
- Thompson, G. R. 1977. "Application of the Finite Element Method to the Development of p-y curves for Saturated Clays." Master of Science in Engineering Thesis, The University of Texas at Austin, Austin, Texas.
- Thorburn, S. y Buchanan, N.W., 1980. "Pile embedment in fine-grained non-cohesive soils". 'Recent Developments in the Design and Construction of Piles'. I.C.E., Londres, 191-198.
- Thorburn, S. y Thorburn, J. Q., 1977. "Review of problems associated with the construction of castinplace concrete piles". CIRIA, Report P62.
- Thurman, A.G. y D'Appolonia, E., 1965. "Computed movement of friction and endbearing piles embedded in uniform stratified soil". 6th ICSMFE, 2: 323-327.
- Tomlinson, M.J., 1957. "The adhesion of piles driven in clay". 4° Cong. Int, Mecánica del Suelo, Londres, 2: 66-71.
- Tomlinson, M.J. y Woodward, J.,2008. "Pile design and construction practice". Taylor & Francis
- Tosini, L., Cividini, A. y Gioda, G., 2010. "A numerical interpretation of load tests on bored piles". Computers and Geotechnics, 37(3), 425-430.
- Trochanis, A.M., Bielak, J. y Christiano, P., 1991. "Three-dimensional nonlinear study of piles". Journal of Geotechnical Engineering, 117(3), 429-447.
- Tschuchnigg F., Schweiger H.F., 2013. "Comparison of deep foundation systems using 3D finite element analysis employing different modelling techniques". Geotechnical Engineering J. of the SEAGS and AGSSEA, 44(3): 40-46.
- Tschuchnigg, F. y Schweiger, H.F., 2015. "The embedded pile concept-Verification of an efficient tool for modelling complex deep foundations". Computers and Geotechnics, 63: 244-254.
- Turello, D.F., Pinto, F. y Sánchez, P.J., 2016. "Embedded beam element with interaction surface for lateral loading of piles". Int. J. Numer. Anal. Methods in Geomech., 40: 568-582.

- Ukritchon, B., Correa Faustino, J., Keawsawasvong, S., 2016. "Numerical investigations of pile load distribution in pile group foundation subjected to vertical load and large moment". Geomechanics and Engineering, 10(5): 577-598.
- U.S. Army Corps of Engineers, 1993. "Design of Pile Foundations'. ASCE, N.Y.
- Vallabhan, C.V.G, Mustafa, G. 1996. "A new model for the analysis of settlement of drilled piers". Int. J. Numer. Anal. Meth. Geomech., 20(2):143-152.
- Van den Elzen, L. W. A., 1980. "Concrete screw piles, a vibrationless, nondisplacement piling method". 'Recent Developments in the Design and Construction of Piles', 6771.
- Van Impe, W. F., 1988. "Considerations on the auger pile design". "International geotechnical seminar on deep foundations on bored and auger piles": 193-218.
- Vázquez-Carretero, N., Justo, J.L., 2002. "La subsidencia en Murcia. Implicaciones y consecuencias en la edificación". Conserjería de Obras Públicas, Vivienda y Transportes. Gobierno de Murcia. ISBN: 84-87138-36-5.
- Vesić, A. B. 1961. "Beams on Elastic Subgrade and Winkler's Hypothesis." ISMFE, 1, 845-850. Vesić, A.S., 1967. "A study of bearing capacity of deep foundations". Georgia. Inst. Tech. Project B-189.
- Vesić. A.S., 1970. "Tests on instrumented piles, Ogeechee River Site". J. Soil Mech. A.S.C.E., 96: SM 2:561-584.
- Vesić, A.S., 1972. "Expansion of Cavities in Infinite Soil Mass". J.S.M.F.D., ASCE, Vol. 98:265-290.
- Walker, L.K. y Le Darvall, P.P., 1973. "Dragdown on coated and uncoated piles". 7° cong. Int. Mec. Suelo, Moscú, 2.1: 257-262.
- Whitaker, T., 1957. "Experiments with model piles in groups". Géotechnique, 7:147-167.
- Whitaker, T. y Cooke, R.W., 1966. "An investigation of the shaft and base resistances on large bored piles in London clay". 'Large Bored Piles'. I.C.E., London, 7-50.
- Whitworth, L.J. y Turner, A.J., 1989. "Rock socket piles in the Sherwood sandstone of central Birmingham". 'Piling and Deep Foundations'. Balkema, 1: 327-336.
- Winkler, E., 1867. "Die Lehre von Elastizitat und Festigkeit". Praga, 1867, p. 182.
- Woodward, R.J., Lundgren, R. y Boitano, J.D., 1961. "Pile loadings tests in stiff clay". 5° Cong. Int. Mec. Suelo, París, 2: 177-184.
- Wrana, B., 2015. "Pile load capacity–calculation methods. Studia Geotechnica et Mechanica", 37.
- Xiao, H. B., Zhong, H. H., and Wang, Y. H. (2003). "Analysis of pile's load transfer in layered soils." J. Central South Univ. Technol., 34(6), 687-690 (en chino).
- Xiao, H.B., Zhang, C.S., Wang, Y.H., Fan, Z.H., 2011. "Pile-soil interaction in expansive soil foundation: analytical solution and numerical simulation". Int. J. Geomech., 11(3): 159-166.
- Zhongju, F., Haibo, H., Ruixin, Z., Jingbin, H., Yunxiu, D., Kai, F., Yawan, Z., Huiyun, C., 2019. "Experiments on reducing negative skin friction of piles". Advances in Civil Engineering. DOI: 10.1155/2019/4201842.

## Índice por palabras

```
Análisis de ecuación de onda
         factor de amortiguamiento viscoso: capítulo 3, página 103
         rigidez del suelo: capítulo 3, página 103
         resistencia estática: capítulo 3, páginas 103 y siguientes
         modelo de Smith: capítulo 3, páginas 103 y siguientes
Ángulo de fricción entre pilote y terreno: capítulo 4, página 116
Apertura
         característica: capítulo 4, página 112
         de fisura admisible; capítulo 4, página 111
Aproximación de Steinbrenner: capítulo 5, página 135
Arcilla de Londres: capítulo 4, páginas 125 y 127; capítulo 10, página 273
Arcilla expansiva: capítulo 1, página 22; capítulo 4, página 124
Arcilla residual: capítulo 4, página 127
Asiento de grupos de pilotes: capítulo 10, páginas 272 y siguientes
         coeficientes de interacción: capítulo 7, página 236; capítulo 10, páginas 277 v
siguientes
         ensayos de laboratorio: capítulo 10, páginas 272 y siguientes
         ensayos de penetración: capítulo 10, páginas 272 y 277
         pilotes de fricción en arcilla: capítulo 10, páginas 274
         pilotes en arena: capítulo 10, páginas 276 y siguientes
         inmediato: capítulo 10, página 274
         métodos elásticos: capítulo 10, páginas 277 y siguientes
         pilotes acampanados: capítulo 10, página 278
         punta en estrato duro: capítulo 10, página 283
         solución matricial: capítulo 10, páginas 279 y siguientes
Asiento de un pilote aislado: capítulo 5, páginas 129 y siguientes
         métodos semiempíricos para el cálculo del asiento; capítulo 5, páginas 129 y siguientes
         métodos analíticos para el cálculo del asiento; capítulo 5, página 130 y siguientes
```

Adhesión: capítulo 1, página 34; capítulo 4, página 124

Aguas residuales: capítulo 4, página 112

Ataque químico: capítulo 4, página 112

Capacidad portante de un pilote: capítulo 2, páginas 60 y 66; capítulo 3, página 94 componentes: capítulo 2, página 60

Carga admisible a tracción: capítulo 4, página 110

Carga de hundimiento de un pilote aislado: capítulo 2, páginas 57 y siguientes

a partir de pruebas de carga; capítulo 6, página 187 mecanismos de fallo: capítulo 2, página 58 en suelos; capítulo 2, páginas 59 y siguientes

en roca: capítulo 2, páginas 89 y siguientes en roca: capítulo 2, páginas 85 y siguientes

Carga de hundimiento de grupos de pilotes: capítulo 10, páginas 267 y siguientes

como bloque: capítulo 10, páginas 266 y siguientes en arcilla; capítulo 10, páginas 267 y siguientes en arena: capítulo 10, páginas 270 y siguientes

por pilotes aislados; capítulo 10, páginas 267 y siguientes

por punzonamiento: capítulo 10, páginas 270 y siguientes

Carga cíclica: capítulo 4, páginas 126 y siguientes

Cargas oblicuas: capítulo 4, páginas 123 y siguientes

Carrera de mareas: capítulo 4, página 112 Célula Osterberg: capítulo 6, página 162 Clases de exposición: capítulo 4, página 112

Coeficiente de seguridad ante hundimiento: capítulo 2, páginas 90 y siguientes

Control de ejecución de pilotes: capítulo 13, página 316

Corrosión

por agua de mar: capítulo 4, páginas 112 y 113 por aguas agresivas: capítulo 4, página 111 por cloruros: capítulo 4, página 112

Cross-hole: capítulo 13, página 318

Deslizamiento pilote-terreno: capítulo 5, páginas 135 y siguientes

Diámetro equivalente: capítulo 2, páginas 45 y 63 ; capítulo 4, página 111; capítulo 8, página 250; capítulo 10, página 266; capítulo 14 página 355

Diferencias finitas: capítulo 5, páginas 133 y 134; capítulo 7, páginas 212 y 215; capítulo 14, página 336

Discretización: capítulo 5, página 132; capítulo 7, página 218; capítulo 14, páginas 335 y 352

Ecuaciones de compatibilidad: capítulo 5, página 136; capítulo 7, páginas 242 y siguientes; capítulo 11, página 296

Ecuaciones de Mindlin: capítulo 5, páginas 132 a 138; capítulo 8, página 252 capítulo 9, página 262; capítulo 11, página 285

Ensayo SPT: capítulo 2, páginas 66, 79 y siguientes

correcciones al ensayo: capítulo 2, página 65

Ensayos de carga rápida: capítulo 6, página 145

Ensayos de integridad: capítulo 6, página 143; capítulo 13, páginas 318 y siguientes

frecuencia de los ensayos; capítulo 13, página 333

Ensayos dinámicos de carga: capítulo 13, página 318

Ensavo de impedancia mecánica: capítulo 13, página 319 Ensayo de transparencia sónica o cross-hole: capítulo 13, página 318 Efecto del tiempo disipación de presiones intersticiales: capítulo 3, páginas 102, 105 y siguientes ganancia de resistencia: capítulo 3, página 107 pérdida de resistencia: capítulo 3, página 105 arcillas blandas: capítulo 3, páginas 105 y 106 arcillas rígidas: capítulo 3, páginas 102 y 107 Estado límite de hundimiento: capítulo 2, página 58 Estado límite de servicio: capítulo 5, página 129 Estructuras marinas: capítulo 1, página 50; capítulo 4, página 112 Fisuración del hormigón: capítulo 4, páginas 109 y siguientes Fórmulas dinámicas de hinca penetración permanente: capítulo 3, páginas 94 y 96 energía cinética: capítulo 3, páginas 94 y siguientes eficiencia del martillo: capítulo 3, páginas 95, 96 y 103 energía neta: capítulo 3, página 95 pérdida de energía: capítulo 1, página 45; capítulo 3, páginas 95 y 97; capítulo 13, página 320 Fórmula de Hiley: capítulo 3, páginas 96 y siguientes martillos de hinca: capítulo 1, página 44; capítulo 3, páginas 96 Fórmula Holandesa: capítulo 3, páginas 20, 94 y 100 sufridera: capítulo 1, página 48; capítulo 3, páginas 94 y siguientes; capítulo 6, páginas 166, 173 y siguientes Fricción de pilotes a tracción: capítulo 4, páginas 116 y siguientes media límite: capítulo 4, página 116 Grupos de pilotes arriostramiento: capítulo 10, página 265 distribución de la carga entre pilotes: capítulo 10, página 271 Eficacia: capítulo 7, página 235; capítulo 10, páginas 267 y siguientes espaciamiento: capítulo 2, página 85 y siguientes; capítulo 7, página 235; capítulo 10, páginas 266, 274 v siguientes Fórmula de Los Ángeles: capítulo 10, página 268 pilotes columna sobre estrato rígido: capítulo 10, página 283 razón de asientos: capítulo 10, páginas 274 y siguientes; capítulo 11, páginas 298 y siguientes separación: capítulo 7, páginas 235 y siguientes; capítulo 10, páginas 266 y siguientes; capítulo 11, página 298 separación crítica: capítulo 10, páginas 267 y siguientes, 274 verticales bajo carga vertical: capítulo 10, páginas 265 y siguientes Grupo de pilotes sometidos a carga lateral: capítulo 7, páginas 232 y siguientes desplazamiento: capítulo 7, páginas 235 y siguientes

desplazamientos horizontales: capítulo 7, páginas 240 y siguientes

método del coeficiente de balasto: capítulo 7, páginas 235 y siguientes

esfuerzos en los pilotes: capítulo 7, página 245

modelo elástico: capítulo 7, páginas 236 y siguientes normativa CTE para grupos de pilotes: capítulo 7, páginas 240 y siguientes resistencia lateral: capítulo 7, páginas 232 y siguientes

Impedancia mecánica: capítulo 13, páginas 219 y siguientes de baja deformación: capítulo 13, página 320 ensayos de: capítulo 13, páginas 325 y siguientes

Inclinometría: capítulo 13, página 318

Instrucción de hormigón estructural: capítulo 1 página 55; capítulo 4, página 110 Instrumentación de las pruebas de carga: capítulo 6, páginas 146 y siguientes

Longitud crítica: capítulo 4, páginas 116 y 119; capítulo 7, página 224

Método de elementos finitos en el cálculo de pilotes: capítulo 14, páginas 335 y siguientes mallado: capítulo 14, páginas 338, 340 y siguientes modelos de materiales: capítulo 14, páginas 337 y siguientes pilotes a compresión: capítulo 14, páginas 346 y siguientes pilotes a tracción: capítulo 14, páginas 347 y siguientes pilotes bajo carga lateral: capítulo 14, páginas 347 y siguientes pilotes embebidos (embedded piles): capítulo 14, páginas 339 y siguientes pilotes volumétricos: capítulo 14, páginas 342 y siguientes programa Plaxis: capítulo 14, páginas 339 y siguientes validación de los modelos: capítulo 14, páginas 342 y siguientes

Método de la ecuación integral: capítulo 5, páginas 130 y siguientes; capítulo 10, páginas 277 y siguientes; capítulo 12, páginas 303 y siguientes; capítulo 14, páginas 349 y siguientes Método de la transferencia de carga para el cálculo de asientos: capítulo 5, páginas 130 y siguientes

Método de Meyerhoff para el cálculo de asientos: capítulo 5, páginas 129 y siguiente Método sónico de reflexión o impedancia mecánica: capítulo 13, páginas 219 y siguientes Módulo de elasticidad del terreno: capítulo 5, páginas 136 y siguientes; capítulo 10, página 279; capítulo 12, página 303

Módulo de elasticidad del pilote: capítulo 3, página 100; capítulo 4, página 126; capítulo 5, páginas 130 a 133; capítulo 7, página 226; capítulo 10, página 279

Pandeo: capítulo 9, páginas 255 y siguientes

carga crítica: capítulo 9, página 255 y siguientes consideraciones energéticas: capítulo 9, páginas 11 y 12 ecuación diferencial: capítulo 9, páginas 256 y siguientes ensayos en modelo: capítulo 9, página 262

inestabilidad direccional: capítulo 9, páginas 256, 263 y 264

método de Robinson: capítulo 9, página 262

hipótesis del coeficiente de balasto: capítulo 9, páginas 258 y siguientes terreno lineal-elástico: capítulo 9, páginas 262 y siguientes

Pile Driving Analyzer: capítulo 6, página 169; capítulo 13, página 319

Pilote aislado sometido a carga lateral: capítulo 7, páginas 191 y siguientes

carga de rotura, normativa. CTE: capítulo 7, página 202 y siguientes cargas laterales admisibles: capítulo 7, página 192

desplazamiento lateral y esfuerzos del pilote aislado: capítulo 7, páginas 208 y siguientes método de Broms para suelos cohesivos: capítulo 7, páginas 192 y siguientes método de Broms para suelos no cohesivos: capítulo 7, páginas 197 y siguientes modelo elástico de Poulos; capítulo 7, páginas 220 y siguientes

módulo de balasto horizontal constante con la profundidad: capítulo 7, páginas 210 y siguientes

módulo de balasto horizontal que varía linealmente con la profundidad: capítulo 7, páginas 212 y siguientes

normativa CTE. Cálculo de esfuerzos: capítulo 7, páginas 230 y siguientes

normativa CTE. Desplazamiento del pilote aislado sometido a carga lateral"; capítulo 7, páginas 226 y siguientes

presión-desplazamiento del terreno o Modelo *p-y*: capítulo 7, páginas 215 y siguientes

ROM 0.5 05: capítulo 2, páginas 88 y siguientes; capítulo 7, página 191 y siguientes, 231 y siguientes, 251

Pilote columna: capítulo 2, página 86 Pilote flotante: capítulo 2, página 251

Pilotes

clasificación: capítulo 1, páginas 25, y siguientes cortos; capítulo 4, páginas 116 y siguientes, 124

de desplazamiento: capítulo 1, páginas 50 y siguientes; capítulo 4, página 116

de madera: capítulo 1, páginas 52 y siguientes; capítulo 2, página 58; capítulo 3, páginas 93 y 98; capítulo 6, página 164

de perforación; capítulo 1, páginas 21, 26, 27, 29, 37; capítulo 2, página 76; capítulo 4, páginas 116 a 128; capítulo 10, página

de perforación de gran diámetro: capítulo 1, página 27; capítulo 10, página 266 en H: capítulo 1, página 41; capítulo 4, página 118; capítulo 6, páginas 164, 177 Hérkules: capítulo 1, páginas 7, 29 y 30; capítulo 4, página 128

helicoidales: capítulo 1, página 39; capítulo 4, páginas 128

hincados: capítulo 1, páginas 25, 40 y siguientes, 50 y siguientes; capítulo 2, página 63, 72 y siguientes, 88 y siguientes; capítulo 3, páginas 93, 105 y siguientes; capítulo 4, páginas 116 y siguientes; capítulo 6, página 160 y siguientes; capítulo 10, páginas 266 y siguientes; capítulo 13, páginas 315 y siguientes

largos: capítulo 2, página 77; capítulo 4, páginas 116 y siguientes; capítulo 6, página 185; capítulo 7, página 193 y siguientes

prefabricado: capítulo 1, página 42, 54; capítulo 3, página 94, 144; capítulo 13, página 318; capítulo 14, página 344

Rodiostar: capítulo 1, página 54 Starsol: capítulo 1, página 54

tubulares: capítulo 1, página 45, 48, 52; capítulo 4, página 128

Pilotes en suelos parcialmente saturados: capítulo 12, páginas y siguientes deslizamiento entre suelo y pilote: capítulo 12, página 308 efecto de la carga axil: capítulo 12, página 308 y soguiente en suelo expansivo: capítulo 12, página 302 y siguiente método de la ecuación integral: capítulo 12, páginas 303 y siguientes método de Xiao *et al.*: capítulo 12, páginas 309 y siguientes

```
pilote incompresible: capítulo 12, páginas 304 y siguientes
         principio de superposición: capítulo 12, páginas 309 y siguientes
         rotura a compresión del pilote: capítulo 12, página 309
         rotura a tracción del pilote: capítulo 12, página 309
Pilotes inclinados; capítulo 11, páginas 285 y siguientes
         asientos: capítulo 11, páginas 298 y siguientes
          aislados: capítulo 11, páginas 287 y siguientes
          grupos: capítulo 11, páginas 285, 296 y siguientes
         pilotes articulados: capítulo 11, página 298 y siguientes
         pilotes empotrados: capítulo 11, páginas 297 y siguientes
          interacción entre pilotes: capítulo 11, páginas 285, 286, 294 y siguientes
          interacción entre pilotes inclinados: capítulo 11, páginas 286, 294 y siguientes
          matriz de interacción: capítulo 11, páginas 293 y siguiente
          matrices de coeficientes: capítulo 11, página 134
          método de los elementos de contorno: capítulo 11, páginas 285 y siguientes
         movimiento de un pilote en un grupo; capítulo 11, páginas 296
Plastificación: capítulo 3, página 104; capítulo 5, página 135; capítulo 7, página 224
Principio de superposición: capítulo 7, página 213, 230 y 236; capítulo 11, páginas 214 y 230
Profundidad crítica: capítulo 2, páginas 77 y siguientes
Pruebas de carga de pilotes: capítulo 6, páginas 143 y siguientes
         frecuencia de los ensayos: capítulo 6, páginas 135 y siguientes
Pruebas de carga dinámica: capítulo 6, páginas 165 y siguientes
         método CAPWAP: capítulo 6, páginas 172 y siguientes
         método CASE: capítulo 6, página 169 y siguientes
         pilotes perforados: capítulo 6, páginas 173 y siguientes
Pruebas de carga estática: capítulo 6, página 147 y siguientes
         bidireccional: capítulo 6, página 160 y siguientes
         estática a compresión: capítulo 6, páginas 148 y siguientes
         estática a tracción: capítulo 6, páginas 156 y siguientes
         estática de carga lateral: capítulo 6, páginas 148 y siguientes
Pruebas de carga rápida: capítulo 6, páginas 177 y siguientes
         método del punto de descarga UPM: capítulo 6, página 181 y siguientes
         método Statnamic: capítulo 6, páginas 178 y siguientes
         método StatRapid: capítulo 6, página 179 y siguientes
Punzonamiento: capítulo 2, páginas 69 y siguientes; capítulo 10, página 270
Relación carga-asiento: capítulo 5, página 129; capítulo 10, página 277; capítulo 14, página 341
Resistencia a tracción: capítulo 4, páginas 109 y siguientes; capítulo 12, páginas 302 y 309
         al arrancamiento: capítulo 4, páginas 115 y siguientes
         de las juntas: capítulo 4, página 113
         del terreno: capítulo 4, página 109 y siguientes
         estructural: capítulo 4, página 109, 113
Resistencia estructural a compresión: capítulo 2, página 91 y siguientes; capítulo 8, página 247
Resistencia por el fuste
         concepto: capítulo 2, página 60
         resistencia unitaria: capítulo 2, página 61
```

en terrenos heterogéneos: capítulo 2, página 267

cálculo a partir de los parámetros de Mohr-Coulomb: capítulo 2, página 74 cálculo en situaciones no drenadas: capítulo 2, páginas 285 y siguientes cálculo a partir del SPT: capítulo 2, páginas 80 y siguientes cálculo a partir de ensayos de penetración estática: capítulo 2, páginas 82 y siguientes cálculo a partir de ensavos presiométricos: capítulo 2, páginas 84 y siguientes en arenas: capítulo 2, página 67; capítulo 3, páginas 107; capítulo 4, páginas 116 v siguientes

en arenas en función de los ensayos de penetración: capítulo 4, página 119 en arcillas: capítulo 2, página 67; capítulo 3, páginas 106 y siguientes: capítulo 4, páginas 124 y siguientes

### Resistencia por la punta

concepto: capítulo 2, página 60 resistencia unitaria: capítulo 2, páginas 61 y siguientes en terrenos heterogéneos: capítulo 2, páginas 67 y siguientes cálculo a partir de los parámetros de Mohr-Coulomb: capítulo 2, páginas 72 v siguientes

cálculo en situaciones no drenadas: capítulo 2, páginas 77 y siguientes cálculo a partir del SPT: capítulo 2, página 79 cálculo a partir de ensavos de penetración estática: capítulo 2, página 82 cálculo a partir de ensayos presiométricos: capítulo 2, página 83

### Rozamiento negativo

por asiento de suelo subconsolidado: capítulo 8, página 247 por descenso de nivel freático: capítulo 8, página 251 por la hinca de pilotes: capítulo 8, página 252 reducción: capítulo 8, página 253

Semiespacio elástico: capítulo 1, página 21; capítulo 5, páginas 131 a 138; capítulo 7, páginas 221, 224, 225 y 238; capítulo 11, página 286

### Tope estructural

a compresión: capítulo 2, página 91 a tracción: capítulo 4, páginas 111 a 115 por fisuración; capítulo 4, página 113 Tracción máxima por fisuración: capítulo 4, página 113

Transparencia sónica: capítulo 13, página 327

Zona activa: capítulo 2, página 80 Zona pasiva: capítulo 2, página 80

### **PILOTES**

El estudio del comportamiento del pilote ha atraído durante décadas la atención de muchos investigadores. El empleo de este procedimiento de construcción se remonta a los orígenes de la arquitectura y del arte de cimentar, pues los de madera se usaban ya en los palafitos, o viviendas lacustres neolíticas, construidas desde el año 5000 a.C. El libro ofrece una información extensa sobre los tipos disponibles en el mercado, una quía para su elección y para la aplicación de la normativa existente; se exponen soluciones para estimar la resistencia y la deformación de pilotes aislados o en grupo, bajo cargas de todo tipo, incluida la tracción o el rozamiento negativo. Los resultados se sintetizan en gráficos y tablas de fácil aplicación. Se ofrecen algunos problemas y soluciones teóricas que no suelen encontrarse en los manuales de cimentaciones, como, por ejemplo, el pandeo de pilotes, el asiento de grupos de pilotes determinado mediante el método de la ecuación integral y los pilotes inclinados. En el último capítulo, dedicado al método de elementos finitos, resulta especialmente interesante la comparación de dos alternativas disponibles: representar los pilotes mediante barras "estructurales" embebidas en la malla de elementos finitos o bien mediante un pilote "volumétrico" discretizado en elementos finitos.



